

河口断面形状について

建設省土木研究所鹿島試験所 山本晃一

1はじめに

河口部の地形は、河からの影響要素のみならず、海からの影響が強く、その変化を定量的に把握することは非常にむずかしい。河口といいうものが常に移動状態にあり、その速度が河川のスケールごとに異なることが現象の把握をより困難にしている。¹⁾しかし河口部の地形、特に河口最狭断面が何によって決まるかを把握しようとする多くの努力がなされてきた。これは最狭断面が舟運、利水、治水に直接影響をあたえるためであるが、その努力も実際的応用に十分な解答をあたえているとは言いがたい。ここでは、今まで行なわれた研究成果をふまえながら、現研究段階をとりまとめ、今後の指針としたい。始めに河口の地形としては特殊状態である平衡断面形について説明を加え、実河川の河口地形の特性についても補足説明をする。

2. 動的平衡断面²⁾

まず始めに波の影響が小さく、潮位もほぼ一定な場合河口断面はどのようになるか考えてみよう。このような河川では河口断面は洪水によつて決まり、流砂量の連続という動的平衡断面に近づく。動的平衡では、

$$\frac{\partial H}{\partial x} + \frac{\partial^2 u}{\partial y^2} \left(\frac{\partial}{\partial x} (B \cdot B_s) \right) + n^2 \frac{\partial^2 h}{\partial x^2} = 0 \quad \dots \dots \dots (1)$$

$$\frac{\partial}{\partial x} (B \cdot B_s) = 0 \quad \dots \dots \dots (2)$$

ここで H 水位、 Q 流量、 B 川幅、 h 水深、 n 粗度係数である。流砂量は河口で粒径が変わらないとすると、

$$B_s = K u_*^p \quad \dots \dots \dots (3) \quad \text{となる。} K \text{は粒径、比重によって変る定数、またマニング式より、}$$

$$u_* = \frac{g}{B} h^{1/2} \sqrt{g} \cdot n \quad \dots \dots \dots (4)$$

(3), (4)を(2)に代入して

$$\frac{\partial h}{\partial x} = \frac{h}{B} \cdot (1 - p/p) \cdot h_B \cdot \frac{\partial B}{\partial x} \quad \dots \dots \dots (5)$$

今河口より上流の水深、川幅を h_0 、 B_0 とすると、(5)より

$$h/h_0 = (B/B_0)^{1/(1-p/p)} \quad \dots \dots \dots (6)$$

となる。同様に

$$A/A_0 = (B/B_0)^{1+p/p} \quad \dots \dots \dots (7)$$

なお河口幅として $B = B_0$ とすると、(1)式より

$$h = h_0 = n^{3/5} \cdot Q^{3/5} \cdot B_0^{-3/5} I^{-1/10} \quad \dots \dots \dots (8)$$

となり等流水深である。 I が $1/100$ と $1/1000$ では水深が 2 倍異なる。

図 1 は筆者が行なつた実験値、および実河川の例を示した。なお p としては Brown 公式の 5 を取つた。筆者の

経験によると、砂州のフラッシュのように浮遊砂の多い場合には、Brown 型が、良いようだ。ここで実河川は、波の影響の少ない河川、および波が在つても導流堤が延びていて、先端水深が $3 \sim 4 m$ 以上の河川を選んだ。なお水位は洪水時を選んだ。動的平衡断面を決めている支配流量は年 1 ~ 2 回のピーク流量ぐらいであるようだ。このように先端水深が深い河川では河口断面積は、洪水時に決まつてしまい、平水流量の減少は河口河積の減少に関係ない。なお河口砂州が存在しても、洪水ピークがだらだら続く裏日本の大河川の融雪出水後の河口水深もほぼ動的平衡な水深と考えて良い。

3. 静的平衡断面

次に砂州部で、河口部の断面が静的になつた場合の断面形を求めてみよう。静的平衡では河口部で流砂量が零で限界掃流力状態にある。粒径

d_m の限界まさつ速度を u_{sc} (m/s) とすると

$$u_{sc}^2 = a \cdot d_m^2 \quad \dots \dots \dots (9)$$

図 1 動的平衡時の

$$A/A_0, h/h_0 \text{ vs. } B/B_0$$

- 実験 0.023 cm
- 現地資料
- 模型実験

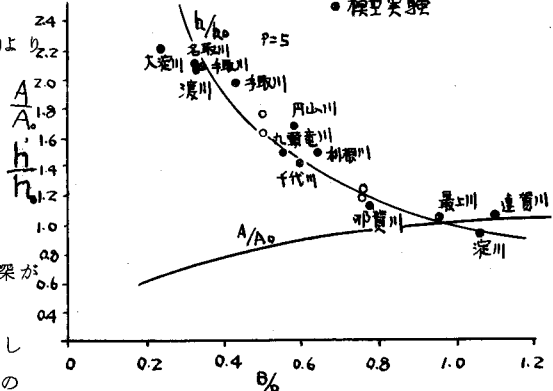
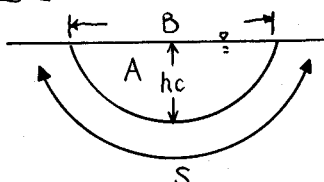


図 2



ここで a , c は定数, $d_m > 0.303 \text{ cm}$ では $a \approx 0.81$, $b \approx 1$ (岩垣式)

図 2 に示す最深部で限界掃流力状態とすると

$$g h_c I_e = g \cdot h_c \cdot n^2 Q^2 / A^2 R^3 = a \cdot d_m^c \quad \dots \dots \dots (10)$$

ここで I_e はエネルギー勾配 $h_c \cdot S = \alpha \cdot A$, $S = \beta \cdot B$ とすると、(10)式は

$$A = (\alpha \beta^3)^{1/2} \cdot (g n^2 / d_m^c)^{1/2} \cdot B^{1/2} \cdot Q^{1/2} \quad \dots \dots \dots (11)$$

筆者は(11)式を確かめるために $d_m = 0.023 \text{ cm}$ の砂で水路幅 1 m の河口に頂幅 30 cm の砂州を作り、流量を段階的に増やして静的断面を測定した。

その結果は図 3 であり

$$A = 7.7 \times 10^{-2} B^{1/2} Q^{1/2} \quad (\text{cm 単位}) \quad \dots \dots \dots (12)$$

となつた。この実験時の $(\alpha \cdot \beta^3)^{1/2}$ は 0.73 ~ 0.81 の間にあり、

$(g n^2 / d_m^c)^{1/2}$ は、0.105 ~ 0.095 となる。 $n = 0.022$ とすると (同一施設で同一粒径を使った移動床実験で ripple 状態の粗度はこれくらい

であつた。今実験においても最狭部に ripple が

存在していた。) U_{rc}^2 は約 $4.5 \text{ cm}^2/\text{s}^2$ となり、岩垣

式による限界掃流力 $2.3 \text{ cm}^2/\text{s}^2$ より 2 倍大きくなつ

ている。これは河床が flat でなく ripple 河床で

あつたためと考えられる。なお(10)式において、 B の $\sqrt{3}$ 乗は、 B の多少の変動で大きさは値が変わらない

が、 A を外力 Q だけから求めるには、河口の断面特

性が知れていなければならぬ。断面形状は野田が

行なつたように最深河床を h_c とし $A_* = A/h_c$, $B_* =$

B/h_c と無次元化すると断面形状がどんな形か判りやすくなる。

静的断面形状を示すと図 4 のごとくである。

ここにおいて片側流出とは水路の片側にのみ州があり、その断面形は図 2 の断面形を中央で半分に切つた形となる。それゆえ A_* , B_* を 2 倍すると中央流

出に相当する。これによると静的平衡断面は $A_* =$

$B_* - 1.8$ となることがわかる。ところでこの結果

は河口で流量が増すと水深の変化よりむしろ低水路

幅が増大すると言うことを示しているのだろうか。

筆者の観測によると断面形状はその断面が作られる

までの履歴に支配され、上流からの土砂補給なしに断面が広がつた場合には放物型 (この断面は Lane の求

めた安定断面に近く、砂の安息角を 30° とすると $B_* = 5.43$, $A_* = 3.46$ であり、 $\bullet \times$ 印は砂州幅が短く

上流からの土砂補給が無いため、上述の値に近くなつてゐる。砂州幅の大きい場合でも砂州上流では補給砂

が無いため Lane 断面に近くなつてゐる) に近く、土砂補給が有つて広がつた場合には台形状になる。静的

平衡断面は $A_* = B_* - 1.8$ の関係がほぼ成立するが、河口でどのような A_* , B_* の値を取るかは砂州の

形態、侵食の仕方で変り $A_* = B_* - 1.8$ の関係だけで河口断面形状が明らかになる。

わけではない。なお河口断面が相似に広がれば、 $A \propto B^2$ であるから $A \propto Q^2$ となる。

このような静的断面が実際の河口に生ずることはほとんど無く、小河川で砂利まじり

の河口砂の場合、アーマリングされた静的な状態が生じるくらいである。静的断面が出来るとしたら砂州と川幅の比が 1 ~ 2 より小さい場合には放物形断面が生じるだろ

う。

図 3 静的平衡断面

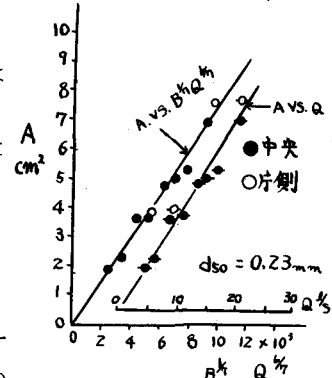
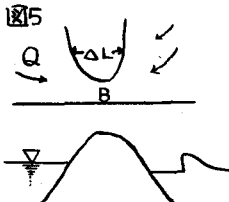
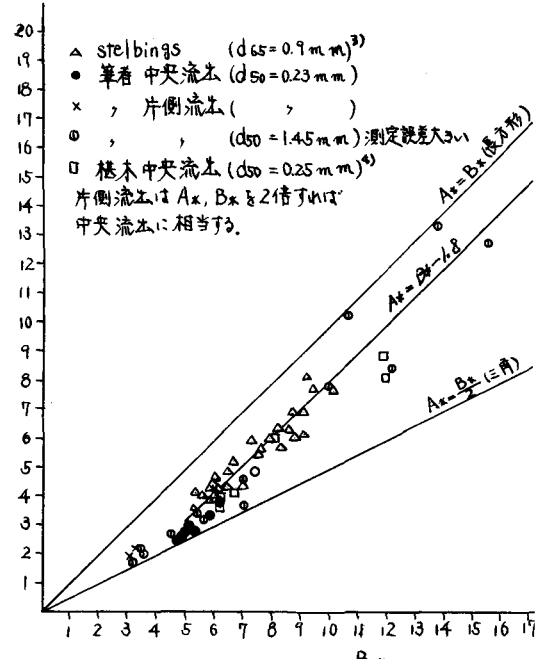


図 4 静的平衡断面形状



4. 波と河川流れのある場合の平衡断面

ここでは図5のように波によって漂砂の補給があるが補給量だけ河川流によつてはきだされる場合を考えてみよう。ただし上流より給砂はないものとする。今 f を波による補給砂量としよう。 f は波の特性、 H_0 、 L_0 、河口形状、河川流量 Q 、および粒径 d_m の関数と考えられる。平衡状態では f と流れによる流砂量が等しくなる。流れによる流砂量を q_{ss} とすると

$$\int_0^L \partial(B \cdot q_{ss}) / \partial x \cdot dx = f \quad \dots \dots \quad (13)$$

L が B に対して短かく、 q_{ss} に対する波の影響は少ないとすると、

$$[B q_{ss}]^{d_m} \propto B \cdot K u_*^P \propto f \quad \dots \dots \quad (14)$$

と考えて良いだろう。 $A \equiv BR$ であるから

$$u_* = Q / BR^{1/2} \cdot \sqrt{g} \cdot n \quad \dots \dots \quad (15)$$

(15)を(14)に代入し $A \equiv BR$ の関係を使うと

$$A \propto K^{p-1} \cdot Q^{p/4-1} \cdot R^{-(p+6)/8(p-1)} \cdot f^{1-p} \quad \dots \dots \quad (16)$$

となる。流砂量式としてBrown式を使うと $p=5$ 、

$K \propto d_m^{-1/4}$ であるから

$$A \propto d_m^{-1/4} \cdot Q^{1.25} \cdot R^{-0.458} \cdot f^{-1/4} \quad \dots \dots \quad (17)$$

となる。なお河口断面が Q の増加に対して相似に広がる

とすると $A \propto R^2$ によう

$$A \propto d_m^{-4.92} \cdot Q^{1.02} \cdot f^{4.92}, \quad B \propto d_m^{-4.84} \cdot Q^{0.501} \cdot f^{4.84} \quad \dots \dots \quad (18)$$

となる。(18)式によれば、 A は、ほぼ Q に比例し、また f が $\frac{1}{2}$ 倍になつても1.15倍、 $\frac{1}{4}$ 倍でも1.25倍にしか増加しない。なお山口は、幅1mの水路に前浜勾配 1% の砂州を作り、 Q と波を変え開口部断面がどのように変わるか調べている。この結果を式(16)に従つて再整理すると図6のごとくなる。この図より同一粒径なら波のエネルギー輸送量が2倍異なつても A はあまり変わらない。つまり $f^{-1/4}$ の値はそれほど変わること。粒径が小さくなると f の値が大きくなり断面積が小さくなることがわかる。図6の $Q=7\%$ の資料の勾配が変わる原因としては、水路幅1mに対し、水路幅の半分以上の開口幅があり、水路幅の影響が強くなり波と流れの干渉状態が変わつたためと思われる。この f の定性的な特性は妥当なものであるが、 f に対する波、 Q 、 d_m の効果を定量的に把握することは困難であろう。図7は天神川と神戸川の B と Q の関係を示したもので、図中の直線は資料の下限を示した。この下限界は波が大きくて、流量によつて維持しうる河積を示し、ほぼ直線となる。

5. 潮汐による河口の平衡断面

感潮区間の長い河川や、背後に潟を持つTidal Inletでは、潮位変動による河口流量によつて河口断面が維持される。この時の平衡条件は、

$$\int_{t=0}^{T=1} \left| \frac{\partial(B \cdot q_{ss})}{\partial x} \right| dt = \int_{t=0}^{T=1} f dt \quad \dots \dots \quad (19)$$

となる。ここで T は潮位変動の一周期、 f は波の特性 H_0 、 L_0 、河川固有流量 Q_0 、河口形状、 d_m および

図6 波と河川流による平衡断面特性

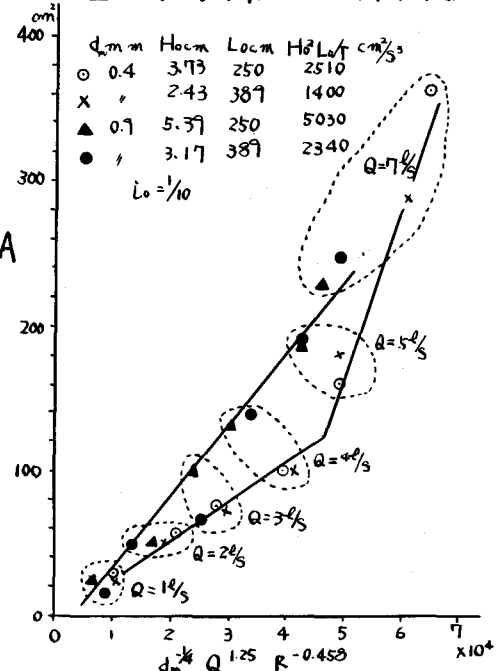
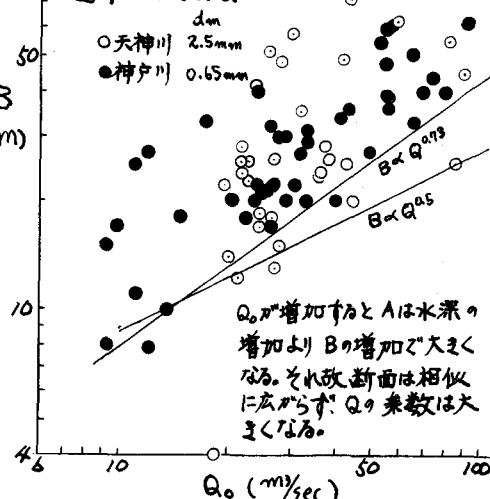


図7 B vs. Q



潮位 ΔH , 潮周期 T , 時間 t の関数と考えられる。 ΔH が長くなければ、(19) 式は

$$\int_{t=0}^{t=T} |B \cdot K U_f|^P dt \propto \bar{f} \quad \dots \dots \quad (20)$$

となる。アメリカの Tidal Inlet のように A が大きく、潮位変動によつて B , R の相対的变化量が小さいとし、 $Q = Q_{max} \sin 2\pi t/T$ とし、 $P = 5$ とすると (20) 式は (16) 式と同様に

$$A \propto d_m^{-1/4} Q_{max}^{1.25} \cdot R^{-0.458} \cdot f^{-1/4} \quad (21)$$

断面形が相似であるとする

$$A \propto d_m^{-1/4.92} \cdot Q_{max}^{1.02} \cdot f^{-1/4.92} \quad (22)$$

である。⁶⁾ O'Brien はアメリカの砂質海岸にある Tidal Inlet を調べ、 $A = 2.0 \times 10^{-5} P$ (Jetty の無い場合) としている。ここで P はタイダルプリズムの大きさ (Ft^3) $P = \int_0^T A v dt$, $v = V_{max} \sin 2\pi t/T$ すると、 $P = A \cdot V_{max} \cdot T/\pi = Q_{max} \cdot T/\pi$ となり、 $A \propto Q_{max}$ となる。これは (21) 式の Q の乗数とほぼ等しい。

ではアメリカの A はなぜ P だけによるのだろうか。まず河川量の影響だが、調査対象の Inlet は巨大なラグーンや湾の開口部が多く、潮汐流に対して河川流が小さいためであろう。波の影響が直接現われるのは、 A の測定が天気の良い日に行なわれていること、年平均的な波のエネルギーが場所的に大きくはならないこと、また粒径もほとんどが $0.2 \sim 0.4 mm$ で場所による変化が小さいことに加え、 A が $d_m f^{1/4} \sim 1/5$ 程の効果しかなく、 d_m が大きくなると f が小さくなるという性質であろう。

日本の河口においては、 P が小さく、 A も小さいため河川流の影響も大きく、波の変化に対する砂州形変化的応答が早いため、O'Brien の関係式で河口断面を表現するには無理があるようだ。表 1 は筆者が、潮汐によつて決められていると考えられる、河口の断面形を調べたものである。ここで A としては手に入つた資料の内最少のものを取つた。これより大きい A は洪水の影響を受けている恐れがある。また P は河口水位変化のおよぶ区間の面積 × (朔望満潮 - 干潮位)とした。 Q_{max} は感潮流量の観測値の内最小流量を取つたものである。これによると $A \propto P$ とは言えず、河川流の影響がかなりあるようだ。なお断面形がほとんどの河川で、 B/h_c が 2.0, A/h_c^2 が 1.5, 前後であるのが興味深い。川内川の値が異なるのは

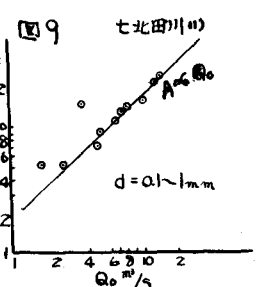
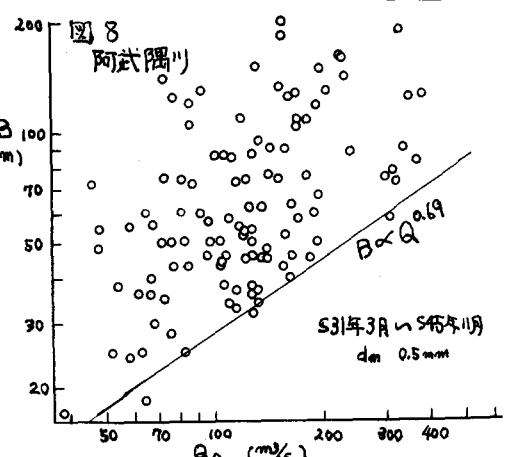
6. で述べるように河口水深が洪水時に作られたためであり、仁淀川は砂利河川で河口材料の粒度の分散が大きいためであろうか。

感潮流量が小さく、潮汐流より河川固有流量 Q_0 の方が、卓越する河川では (21), (22) 式において Q_{max} の変わりに、 Q_0 を入れれば、平衡断面形を表わす式となろう。図 8 は阿武隈川の B と Q_0 の関係であり、太平洋側の河川でありながら、図 7 と同様下限線は直線となる。このような例は相模川、七北田川でも見られる。

6. 実河川の河口特性

表 1 潮汐による平衡断面と考えられる川

河川名	B/m	A/m^3	h_c/m	B/h_c	A/h_c^2	d_m/mm	$Q_{max}/m^3/s$	P
久慈川	65	145	3.2	20	1.5	0.8		65
相模川 (干潮)	56	84	2.3	24	15.9	0.8	135	290
	82.5	168	3.7	22.3	12.3			
阿武隈川	60	126	3.0	20	14	0.7		238
大淀川	75	141	3.5	21.4	12	1		786
狩勝川	40	60	2.0	20	15	0.8		61
仁淀川	32	69	3.8	8.4	4.8	7	1200	37
川内川	95	458	7	13.6	9.4	0.5~2	800	1500



実河川の河口断面は、前述のように平衡状態にあるのは少なく、ほとんどが非平衡の状態にあり、大河川では、一つの状態から一つの状態への変化が年以上の期間を必要とするものもある。この非平衡状態の河口断面について研究したものに佐藤、岸の神戸川の例、広田の相模川の例があるが、流量が大きくなつたり、流量が急激に変わる場合には問題が残つているようだ。これは河口の断面形は、実際には波と流れの非線型的作用によるにもかかわらず、筆者が行つた場合も含めて、波と流れを分離して考える変数分離的、線型作用的考え方方に無理があること、流量が大きくなると河口地形が大きく変り、波と地形の相互作用が変わつてしまつことによろう。ここでは、この非平衡状態の河口断面把握の第一歩として、実河川の河口断面変化の共通性について述べ、今後の参考に供したい。

まず第一に河口の断面は洪水によつて支配され、この断面に波や流れの作用によつて砂州が形成され、河幅が小さくなるという観点が必要であろう、この洪水後の断面形（河自身が持つ特性によつて決まる。）の特質によつて河口砂州の形態も変つてくる。洪水後の河口水深が浅い場合には、平衡海浜にならうとして、波によつて砂が打上げられ、波のはい上り高さまで砂州高が高く

図10 二次元的砂州

なる。砂州先端部では砂州を乗りこえて来た波による土砂が流れによつて先端部に堆積し、対岸では流れによつて侵食されるような場合は、急激な河口位置の変動が生じることがある。

この現象も基本的には汀線に直角方向の波による砂の打上げによる現象の変形である。洪水後の河口水深がある程度深い場合には、二次元的な砂州形成もあるが、波が砂州先端部を走るようになり、この走り波による砂の流速が、流れによつて止められると、そこに土砂を堆積し、逆に流れが強いと流れによつて砂州は海側にまがつてくる。このような河口砂州の生じる河口では、河口幅が小さくなる時、河口水深が変化せず、川幅Bだけ

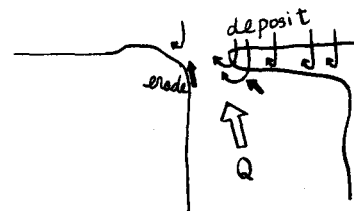


図11 三次元的砂州

が小さくなり、水深は、ほとんど変化しない。つまり最深部の土砂はほとんど動かず、走り波による側面からの補給砂だけで河口幅を減少していく。特に裏日本の大河川は毎年決まつて来る融雪出水によつて春先に断面が大きくなり、秋期、冬季の季節風による波高増大によつて河口幅が小さくなるため、この傾向が顕著である。このような河川は最上川、江の川、米代川、荒川、阿賀野川で見られ、太平洋でも旧北上川、川内川などで見られる。このような形態の河口変化を持つためには、河口水深4m以上が必要なようで、上述の河川はすべて4m以上となつてゐる。このような河川では波と流れの非線型性が強く、また密度流の影響を受けるために単純な考え方で河口断面を表わせるととは考えられない。なおこの水深4mは導流堤先端水深がこれ以上あれば、波による砂のもちこみは少なく、河口水深が維持できるという基準を示しているようだ。表2は日本における導流堤先端水深と、導流堤内の河床変化について調べたもので、4m以上あれば、ほぼ維持できることを示している。この水深以上では波による土砂移動が少なくあつても、次の洪水時にはきだされてしまうのであろう。筆者は実際の河口計画にあつては、この成果を利用している。なお動的平衡水深が浅く二次元的砂州が生ずるような場合、導流堤を作つた場合、導流

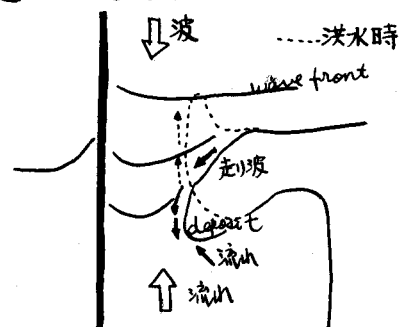
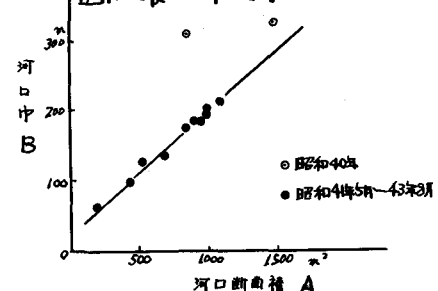


図12 最上川の例



堤の無い場合より河幅を増加することはむずかしい。ただその形成速度を遅くし、偏流を防ぐことができる。

砂州のある河川では洪水後河口前面につりがね状のバーを作ることが多い。これは流速が河口を出て遅くなるため、そこに土砂を落とすためであり、密度流（内部シャンプ）はこの傾向を強めている。この Bar 頂までの距離 L と河口幅 B の比は、洪水継続時間流出土砂量にもよるが、2 ~ 4 ぐらいで、水平床の場合のボテンシャルコアの長さ S より小さい。導流堤を作ると、砂州部の補給砂が無くなるため、この Bar 頂水深は深くなり、船路のためには良い。

7. 実河川の資料の整理にあたつての注意点

利水による河川流量減などの影響を調べたり、洪水時にどれだけ広がるかなどの河口特性を把握する場合次のことは参考になろう。

1) ただ単に、川幅、流量、波、風等の資料を単相関的に図化しても、対称河川の実体を把握することはできない。まずその川の動的把握を必要とする。それには各資料を時系列的に並べ、これを同一図面に描くことによつて、河口変動が何によつて支配されるか、河口変動の速度をかなり明確にすることができる。（例 図 13 最上川の最狭断面の変化）

ロ) 個々の資料を動的な立場で把握し、資料整理の目的によつては、資料の棄却も必要である。たとえば、平衡状態の把握には、非平衡と考えられる資料をすべてても良いだろう。

参考文献

1) 山本晃一、河口現象把握の問題点、土木技術資料 15-12, 1973
 2) 山本晃一、河口導流堤計画に関する一試論、土木技術資料 17-1, 1975, 予定
 3) 野田・木村、河口閉塞に関する研究、京大防研 13 号 B 1970
 4) 横木、河口砂州の安定断面について、第 26 回年講
 5) 山口、河口開口部特性について、第 17 回建設省技術研究会 1963
 6) O'Brien, Equilibrium flow areas Of Tidal Inlet On Sandy Coasts, Coastal Engineering, 1973
 7) Joe W. Johnson, A. S. C. E. WW 3, 1973
 8) 佐藤・岸、河口に関する研究、土研報 9 号 1973

10) 広田、16, 17 回海講 第 9 号
 11) 酒田工事事務所、最上川河口調査中間報告書 1969

図 13 最上川
河口砂州の
時系列的变化

表 2 河口の維持水深

河川名	先端水深	粒径
遠賀川	4m	0.7mm ほぼ維持可能
大淀川	5m	0.5~1mm "
肝属川	2m	0.7mm 維持不能
千代川	3~4m	0.5mm は時々 時々
高津川	3~4m	日本では浅い
相模川	1.5 m	0.6mm 維持不能
利根川	3 m	0.5~2mm 河口前面で動く
耶珂川	5~6m	1mm 維持可能
鳴瀬川	2~3m	0.3mm 2m位に
旧北上川	5m	0.5~3mm 維持可能
岩木川	4m	0.5mm は日可能
円山川	6m	0.3mm 維持可能
渡川	11~12m	1~5mm "
日高川	2m	維持不能
奥川	2~2.5m	1~3mm "

表 3 洪水による河口前面 Bar 頂までの距離

・基礎実験 $d_m = 0.023cm^3$, $\rho = 2.65$, 淡水のみ
 実験ケース Q/B % L/B 砂州直水深/河口水深

	Q/B	L/B	砂州直水深/河口水深
1	40	170/50 = 3.8	1/20 = 0.45
2	60	220/50 = 4.6	3/30 = 0.1
3	80	225/50 = 4.5	3/30 = 0.07
4	40	173/45 = 2.3	1/13 = 0.84
5	60	233/75 = 3.1	1/15 = 0.73
6	80	243/75 = 3.3	14/15 = 0.93
Butakov	6	17/50 = 3.7	2.5/6 = 0.92

・現地資料

河川名	Q 年最大	L/B	砂州直水深/河口水深
天塙川	1654m ^{3/s}	390/130 = 3.0	1.5/10 = 0.15
石狩川	4567	1100/300 = 3.7	2.5/7 = 0.36
最上川	3460	600/220 = 2.7	3/5.5 = 0.55
北上川	2260	400/100 = 4.0	2.5/6 = 0.42
天神川	630	200/61 = 3.3	1.5/2.5 = 0.6

Butakov の場合 $d_m = 0.2cm$

